

**Podstawy metody Monte Carlo i jej zastosowania
w modelowaniu komputerowym**

Plan wykładu

1 cegiełka

- elementy rachunku prawdopodobieństwa i statystyki w ekspresowym skrócie
 - zmienna losowa dyskretna → rozkład prawdopodobieństwa
 - moment zmiennej losowej, moment centralny, wartość oczekiwana i wariancja
 - zmienna losowa ciągła → funkcja gęstości prawdopodobieństwa i dystrybuanta

2 cegiełka

- komputerowe generatory liczb pseudolosowych
 - rozkład jednorodny → generator liniowy
 - dowolny rozkład → odwracanie dystrybuanty, algorytm Metropolisa

3 cegiełka

- podstawowa metoda MC dla całkowania numerycznego
 - interpretacja wyniku → prawo wielkich liczb i CTG
 - algorytm MC całkowania
- przykłady modelowania MC
 - model Isinga
 - optymalizacja wartości funkcji → symulowane wyżarzanie
- podsumowanie
- literatura

Elementy rachunku prawdopodobieństwa i statystyki w ekspresowym skrócie

Zmienna losowa – to wynik zdarzenia losowego, który może mieć wymiar:

- liczbowy (wynik rzutu kostką, liczba zliczeń w detektorze, wartość zmiennej o rozkładzie ciągłym)

$$X \in \{1, 2, 3, 4, 5, 6\} \quad X \in [a, b]$$

- logiczny/binarny (losowanie bitów 0-1, prawda/fałsz, rzut monetą) $X \in \{\text{orzeł, reszka}\}$

$$X \in \{0, 1\} \quad X \in \{\text{prawda, fałsz}\}$$

- nieliczbowy (losowanie karty z tali, kolorów), ale z możliwością przypisania wynikowi unikatowej wartości liczbowej (1,2,..)

$$X \in \{\blacksquare, \color{red}\square, \color{green}\square, \color{blue}\square, \dots\} \implies \{1, 2, 3, \dots\}$$

$$X \in \{2\clubsuit, 3\clubsuit, 4\clubsuit, \dots\} \implies \{1, 2, 3, \dots, \}$$

Zazwyczaj interpretacja pojedynczego wyniku zdarzenia losowego nie ma znaczenia. Istotny (statystycznie) jest opis wyniku serii zdarzeń losowych, do tego wykorzystamy narzędzia jakie daje nam statystyka - wnioskowanie na podstawie informacji zawartych w generowanej przy użyciu Monte Carlo próbce danych.

Zjawisko losowe – proces stochastyczny generujący ciąg zmiennych losowych $\{X_1, X_2, X_3, \dots\}$, których wartości nie możemy przewidzieć, ale możemy przypisać im określone prawdopodobieństwo wystąpienia $\{p_1, p_2, p_3, \dots\}$.

$$\underbrace{X_1}_{p_1}, \underbrace{X_2}_{p_2}, \underbrace{X_3}_{p_3}, \dots, \underbrace{X_n}_{p_n} \quad P\{X_i\} = p_i$$

Prawdopodobieństwo p_i jest granicą, do której dąży asymptotycznie częstość wystąpień zmiennej X_i

$$\lim_{N \rightarrow \infty} \frac{n_i}{N} = p_i$$

Uwaga: należy pamiętać o różnicy pomiędzy tymi wielkościami

- prawdopodobieństwo jest określone w sposób ścisły (dokładny)
- częstość wystąpień to zmienna losowa i podlega pewnym fluktuacjom statystycznym
- równość tylko w granicy, której nigdy na komputerze nie osiągniemy

Rozkład dyskretny zmiennej losowej

- prawdopodobieństwo zdarzenia losowego ma określone własności

$$0 \leq p_i \leq 1$$

$$p_i = 0 \implies \text{zdarzenie nigdy nie zajdzie}$$

$$p_i = 1 \implies \text{zdarzenie pewne}$$

- prawdopodobieństwo otrzymania jakiegokolwiek wyniku losowego (**warunek normalizacji prawdopodobieństwa**)

$$\sum_{i=1}^N p_i = 1$$

- w metodzie MC musimy zapewnić spełnienie warunku normalizacji aby wyniki miały prawidłową interpretację ilościową (porównanie różnych wyników)

- prawdopodobieństwo zdarzenia losowego a prawdopodobieństwo jego braku (zdarzenie przeciwne)

$$P\{X_i\} = p_i \quad P\{\bar{X}_i\} = 1 - p_i$$

- istotna własność wykorzystywana przy podejmowaniu decyzji w MC

Wielkości charakterystyczne dla rozkładu → **momenty rozkładu**

- n-ty moment

$$E(X^n) = \langle X^n \rangle \equiv \sum_i p_i x_i^n$$

W metodzie MC najczęściej interesują nas 2 pierwsze momenty

- **wartość oczekiwana** (przeciętna) zmiennej losowej – 1 moment

$$E(X) = \langle X \rangle = \sum_i p_i x_i = \mu$$

- **wariancja** – to kombinacja 1 i 2 momentu rozkładu

$$\text{var}\{X\} \equiv \langle (X - \mu)^2 \rangle = \sum_i p_i (x_i - \mu)^2 = \langle X^2 \rangle - \langle X \rangle^2$$

odchylenie standardowe – to miara rozrzutu zmiennej losowej wokół wartości oczekiwanej

$$\sigma_X = \sqrt{\langle X^2 \rangle - \langle X \rangle^2}$$

- jeśli zmienna losowa jest argumentem funkcji to wartości funkcji automatycznie stają się zmiennymi losowymi

$$g = g(x_i), \quad x_i \in \{X_1, X_2, \dots, X_N\}$$

a skoro tak, to identycznie możemy określić wartość oczekiwaną i wariancję (odchylenie standardowe)

$$\langle g(X) \rangle = \sum_i p_i g(x_i)$$

$$\text{var}\{g(X)\} = \langle g^2(X) \rangle - \langle g(X) \rangle^2$$

Uwaga: w prawie każdej wersji metody Monte Carlo, jedną z głównych czynności jest szacowanie wartości oczekiwanej i wariancji

Dystrybuanta i funkcja gęstości prawdopodobieństwa

Dla rozkładu dyskretnego definiowaliśmy

$$X \in \{X_1, X_2, \dots, X_n\} \quad P\{X_i\} = p_i$$

możemy zatem określić prawdopodobieństwo wylosowania zmiennej z podzbioru

$$P\{X \in \{X_1, X_2, \dots, X_k\}\} = P\{X \leq X_k\} = p_1 + p_2 + \dots + p_k = \sum_{i=1}^k p_i, \quad k \leq n$$

funkcję określającą tak skumulowane prawdopodobieństwo nazywamy **dystrybuantą rozkładu**

$$\underbrace{F(x_k) \equiv P\{X \leq X_k\}}_{\text{dyskretny}} \quad \vee \quad \underbrace{F(x_k) \equiv P(X \leq x_k)}_{\text{ciągły}}$$

Własności dystrybuanty:

$$F(x) \in [0, 1] \quad - \text{warunek normalizacji (określa prawdopodobieństwo)}$$

$$F(x + \delta x) \geq F(x), \quad \delta x > 0 \quad - \text{funkcja niemalejąca}$$

Przykład: rozkład Bernoulliego

Rozkład Bernoulliego opisuje proces, którego wynik może przyjmować jedynie dwie wartości (np.: rzut monetą, przejście cząstki przez tarczę)

$$X \in \{0, 1\} \quad (X \in \{a, b\})$$

obu zmiennym możemy przypisać prawdopodobieństwo wylosowania

$$P\{0\} = 1 - p = q, \quad P\{1\} = p, \quad p + q = 1$$

wówczas **rozkład prawdopodobieństwa** opisuje

$$p_r(n) = p^n (1 - p)^{1-n}, \quad n = 0, 1$$

Wartość oczekiwana zmiennej
(pierwszy moment)

$$\langle X \rangle = (1 - p) \cdot 0 + p \cdot 1 = p$$

drugi moment

$$\langle X^2 \rangle = p$$

wariancja

$$\text{var}\{X\} = \langle X^2 \rangle - \langle X \rangle^2 = p - p^2 = p(1 - p)$$

Otrzymaliśmy wynik analityczny, jak proces losowania zmiennej o takim rozkładzie zasymulować na komputerze? Potrzebujemy dodatkowych narzędzi:

- miary prawdopodobieństwa (dystrybuanta + funkcja gęstości prawdopodobieństwa)
- generatora liczb pseudolowych o rozkładzie Bernoulli'ego

- dla zmiennej o ciągłym rozkładzie prawdopodobieństwa sumę zastępujemy całkowaniem, dyskretny rozkład prawdopodobieństwa zastępujemy ciągłą funkcją **f(x)**

$$P(x \leq x_k) = F(x_k) = \int_{-\infty}^{x_k} f(x)dx \leq 1$$

- funkcja gęstości prawdopodobieństwa f(x)** (fgp) jest nieujemna i unormowana

$$f(x) \geq 0 \quad \int_{-\infty}^{\infty} f(x)dx = 1$$

- fgp wykorzystujemy do wyznaczenia 1 i 2 momentu rozkładu

$$\langle X \rangle = \int_{-\infty}^{\infty} x f(x) dx$$

$$\langle X^2 \rangle = \int_{-\infty}^{\infty} x^2 f(x) dx$$

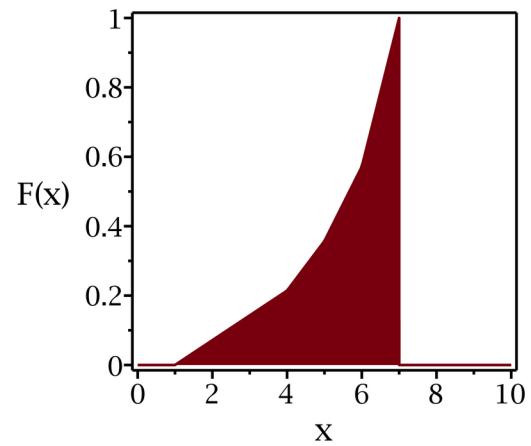
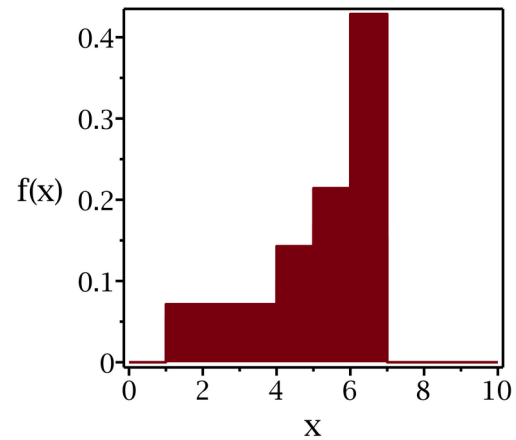
$$\text{var}\{X\} = \langle X^2 \rangle - \langle X \rangle^2$$

Dystrubuantę i fgp wykorzystujemy też do konstruowania generatorów liczb pseudolosowych – o tym za chwilę.

- przykład fgp (górny wiersz) i dystrybuanty (dolny wiersz)

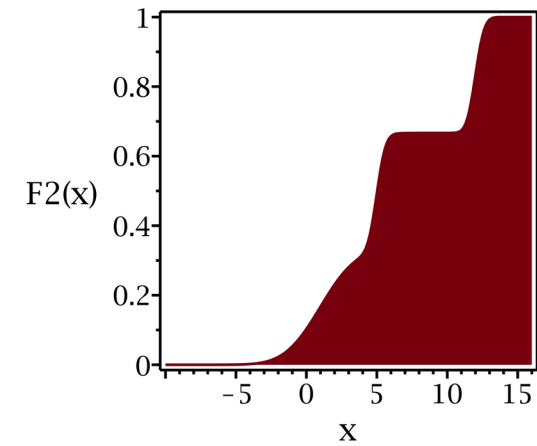
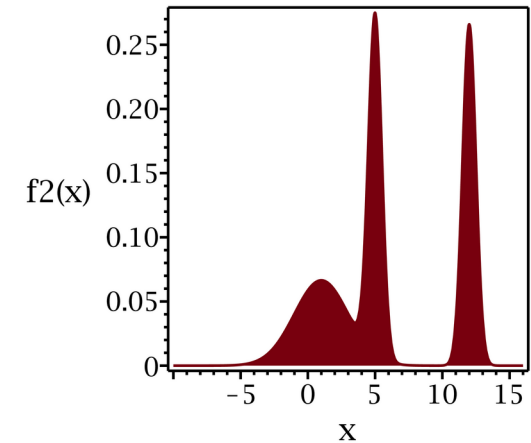
rozkład schodkowy

$$x \in [1, 7]$$



rozkład nieograniczony

$$x \in (-\infty, \infty)$$



Komputerowe generatory liczb pseudolosowych

Metoda MC wymaga użycia ciągu liczb o zadanym rozkładzie – te uzyskujemy z generatorów liczb pseudolosowych. Liczby generowane są według określonego algorytmu – dlatego pseudolosowe – jeśli znamy algorytm to możemy określić każdą kolejną liczbę (i gdzie tu losowość?).

Zalety generatorów komputerowych:

- proste w obsłudze
- bardzo szybkie
- dowolny rozkład prawdopodobieństwa
- ciągi liczb o bardzo dużym okresie
- powtarzalność ciągów (cecha istotna przy testowaniu oprogramowania)

Wady:

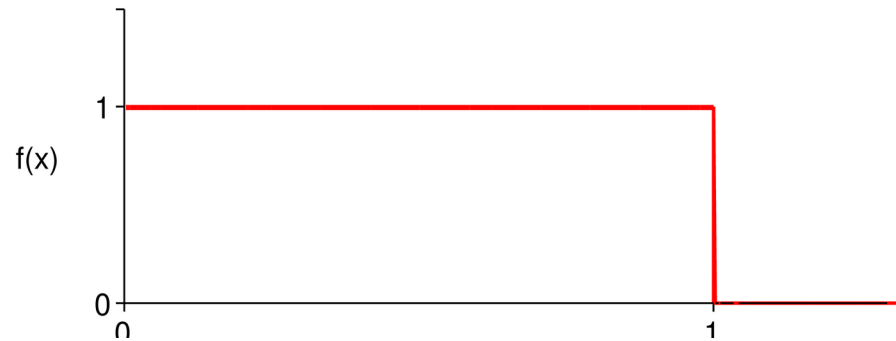
- pseudolosowość a nie prawdziwa losowość
- generatory spełniają tylko część testów statystycznych (nie wszystkie!)
- korelacja elementów w ciągu (np. algorytm Metropolis, w mniejszym stopniu też inne)

Wady generatorów akceptujemy, bo nie mamy nic lepszego – generatory liczb losowych wykorzystujące zjawiska fizyczne (rozpad promieniotwórczy czy szum termiczny aparatury elektronicznej) są niezwykle kłopotliwe w użyciu.

Proces generowania liczb pseudolosowych zależy od typu żądanego rozkładu.

- podstawą każdego generatora o dowolnym rozkładzie prawdopodobieństwa jest
 - **generator o rozkładzie jednorodnym $U(0,1)$**

$$f_U(x) = \begin{cases} 1 & x \in (0, 1) \\ 0 & x \notin (0, 1) \end{cases}$$



- do generowania liczb o dowolnym rozkładzie prawdopodobieństwa używamy **$U(0,1)$** oraz
 - **metody odwracania dystrybuanty** (najszybsza)
 - **algorytm Metropolisa**
 - **metody eliminacji von Neumanna**
(wolna – jeśli nie musimy to nie stosujemy)

Generator liczb pseudolosowych o rozkładzie jednorodnym

- najczęściej stosowanym generatorem jest generator liniowy
- zasada działania bazuje na dzieleniu modulo
- kolejny element wyznaczamy na podstawie jednego lub kilku poprzednich elementów ciągu (liczby naturalne)

$$x_i = (a_1 x_{i-1} + a_2 x_{i-2} + \dots + a_n x_n + c) \bmod m$$

$\{a_1, a_2, \dots, a_n, c, m\}$ - parametry generatora, m - duża liczba pierwsza

$\{x_1, x_2, \dots, x_n\}$ - ciąg inicjujący („ziarno” generatora)

- generator dostarcza liczby całkowite z zakresu

$$x_i \in [1, m - 1]$$

Uwaga: pomijamy 0 – odwracając liczbę unikamy osobliwości

należy je znormalizować (unormować)

$$X_i = \frac{x_i}{m} \quad \rightarrow \quad X_i \in (0, 1) \quad \rightarrow \quad X_i \sim U(0, 1)$$

- następnie możemy wykonać transformację dla innego zakresu np. $Y=[a,b]$

$$Y_i = a + X_i(b - a) \quad \rightarrow \quad Y_i \sim U(a, b)$$

Przykład generowania N liczb o rozkładzie $U(a,b)$ w języku C.

- funkcja **rand()** generuje całkowite nieujemne liczby pseudolosowe o rozkładzie jednorodnym
- funkcja **srand(unsigned int)** ustawia punkt startowy ciągu
- tablica **hist[]** przechowuje informacje o ilości liczb wylosowanych z danego przedziału (N-normalizacja dla całkowitej liczby zliczeń, Δx -normalizacja jak dla fgp)

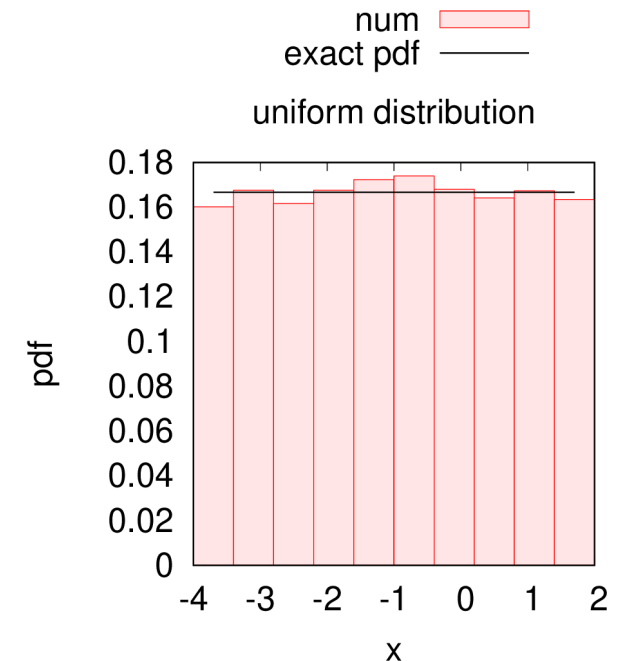
```

unsigned int z0
inicjalizacja:  a, b, N, z0, k

srand(z0) //ziarno podajemy opcjonalnie
 $\Delta x = \frac{b-a}{k}$ 
hist []=0

for (i=1; i <= N; i++){
  x=(double)rand()/RAND_MAX //x ~ U(0,1)
  x=a+(b-a) * x //x ~ U(a,b)
  l=int( (x-a)/ $\Delta x$  )
  hist [l]+=1/N/ $\Delta x$  //histogram
}

```



Oczekujemy, że generator dostarcza liczb „prawie” losowych – czy tak rzeczywiście jest?

Generator musi spełniać zestaw testów statystycznych – w przeciwnym wypadku czeka nas niemiła niespodzianka.

Przykład „słabego” generatora – generator multiplikatywny (c=0) RANDU – test wizualny (najprostszy)

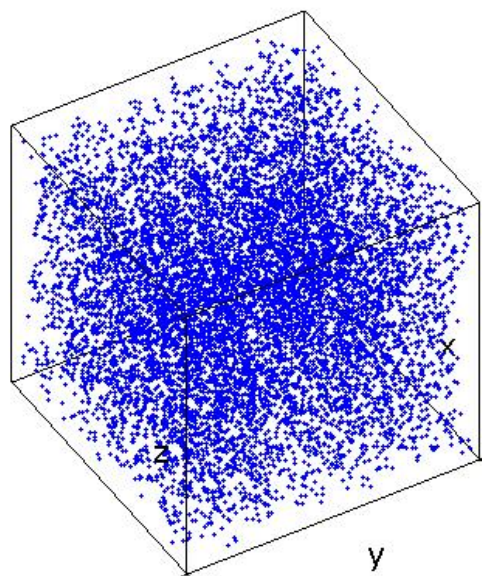
$$x_{i+1} = ax_i \pmod m \quad a = 65539 = 2^{16} + 3 \quad m = 2^{31}$$

$$x_{i+2} = ax_{i+1} \pmod m = (2^{16} + 3)x_{i+1} \pmod m = (2^{16} + 3)^2 x_i \pmod m$$

$$x_{i+2} = 6x_{i+1} - 9x_i \quad \text{- silna zależność (korelacja) trzech kolejnych liczb}$$

Silna korelacja elementów ciągu powoduje że układają się one na hiperpowierzchniach
- generowane punkty próbują w sposób wybiórczy przestrzeń.

przypadkowy rzut wygląda dobrze

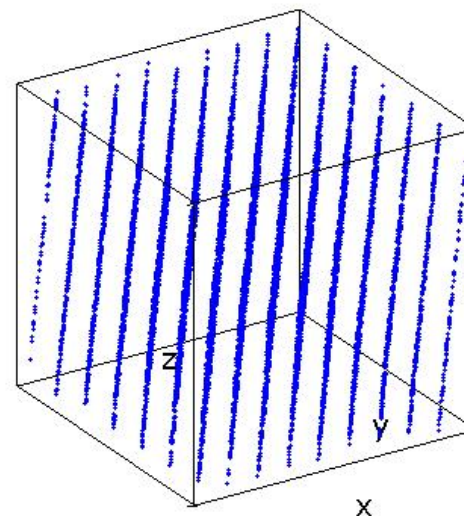


10 tysięcy punktów wygenerowanych przez RANDU

rysujemy punkty

$$[X_i, X_{i+1}, X_{i+3}]$$

... ale po obrocie odkrywamy, że wyniki nie są takimi jakich oczekujemy – widać **hiperpłaszczyzny**



na hiperpłaszczyznach losowość jest, ale między nimi już nie

Rozkład dowolny - metoda odwracania dystrybuanty

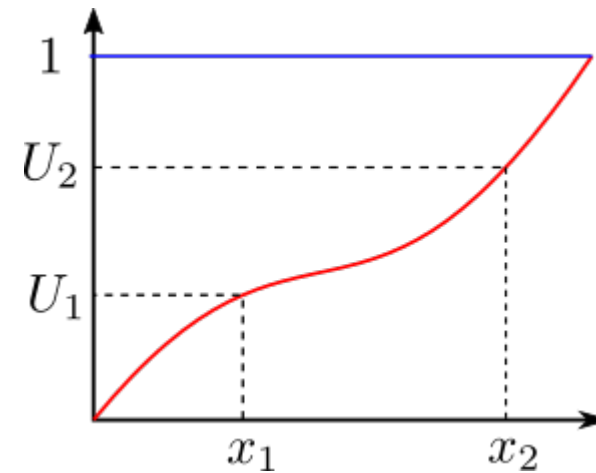
Wykorzystujemy tu własność dystrybuanty

$$F(x) \in [0, 1]$$

Losując zmienną U_i z rozkładu $U(0,1)$ określamy losową wartość dystrybuanty

$$U_i = F(x_i) \in (0, 1)$$

$$x_i = F^{-1}(U_i), \quad x \in (-\infty, \infty)$$



Metoda w zasadzie sprowadza się do znalezienia funkcji odwrotnej:

- 1) jeśli ją znamy to problem jest rozwiązany
- 2) funkcję odwrotną można przybliżać/aproksymować – wówczas rozwiązanie przybliżone

Sposób generowania zmiennych losowych x z rozkładu o dystrybuancie F sprowadza się do wylosowania ciągu liczb o rozkładzie jednorodnym i ich transformacji w elementy ciągu o docelowym rozkładzie

$$U_1, U_2, \dots, U_n \in (0, 1) \quad \rightarrow \quad X_1, X_2, \dots, X_n \in (-\infty, \infty)$$

Metodę odwracania dystrybuanty można stosować do rozkładów ciągłych i dyskretnych

przykład – rozkład eksponencjalny

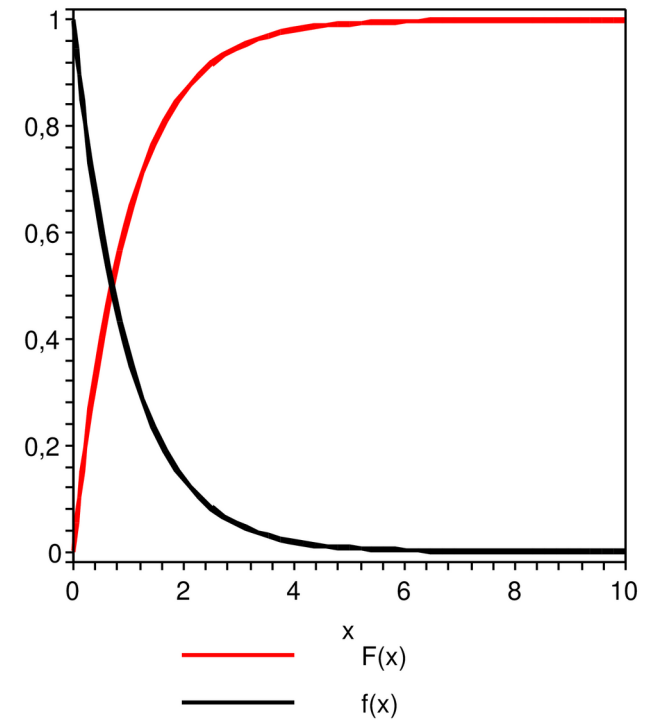
- funkcja gęstości prawdopodobieństwa

$$f(x) = \lambda e^{-\lambda x}, \quad x \in [0, \infty), \quad \lambda > 0$$

- dystribuanta rozkładu

$$F(x) = \lambda \int_0^x dx' e^{-\lambda x'} = 1 - e^{-\lambda x} = U_1, \quad U_1 \sim U(0, 1)$$

$$x = -\frac{1}{\lambda} \ln(1 - U_1), \quad x \in (0, \infty)$$



Przykład generowania N liczb o rozkładzie $\text{Exp}(\lambda)$ w języku C

```

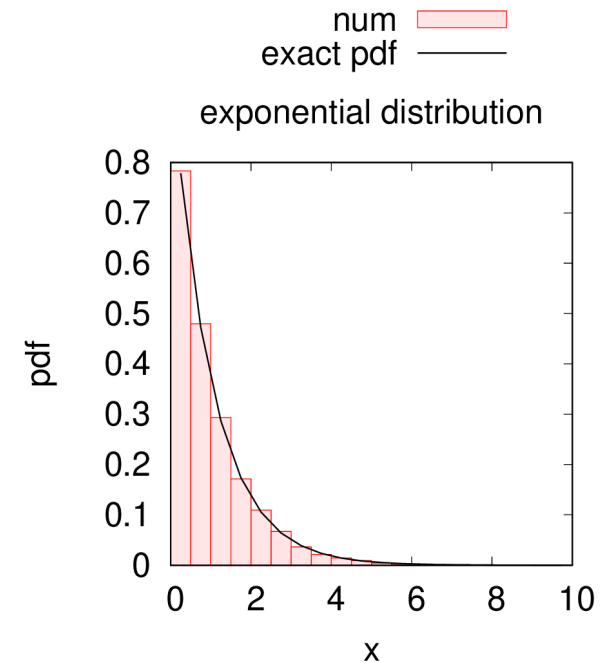
unsigned int z0
inicjalizacja:  λ,N,z0,k

    srand(z0) //ziarno podajemy opcjonalnie
    Δx =  $\frac{10\lambda}{k}$ 
    hist []=0

for (i=1; i <= N; i++){
    U1=(double)rand()/RANDMAX //U1 ~ U(0,1)
    x = -ln(1 - U1)/λ
    l=int( x/Δx )
    if (l<k) hist [l]+=1/N/Δx //histogram
}

```

- konstruując histogram musimy pamiętać, że rozkład jest prawostronnie nieograniczony - część wylosowanych liczb znajdzie się poza zakresem obejmowanym przez histogram (te liczby można akumulować w ostatniej komórce – gdyby zaszła taka potrzeba)



przykład – rozkład normalny (Gausa) $N(0,1)$

- funkcja gęstości prawdopodobieństwa

$$f(x) = \frac{1}{\sigma\sqrt{2\pi}} e^{-\frac{(x-\mu)^2}{2\sigma^2}}$$

- nie znamy funkcji odwrotnej **funkcji błędu erf()** – problem w 1D
- zamiast tego rozważa się funkcję w 2D: **metoda Boxa-Mullera** generujemy od razu parę liczb o rozkładzie $N(0,1)$

$$U_1, U_2 \sim U(0,1)$$

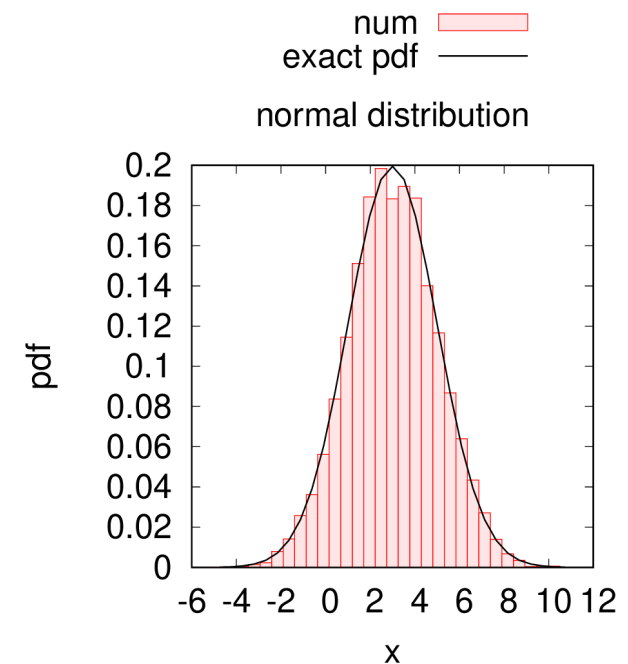
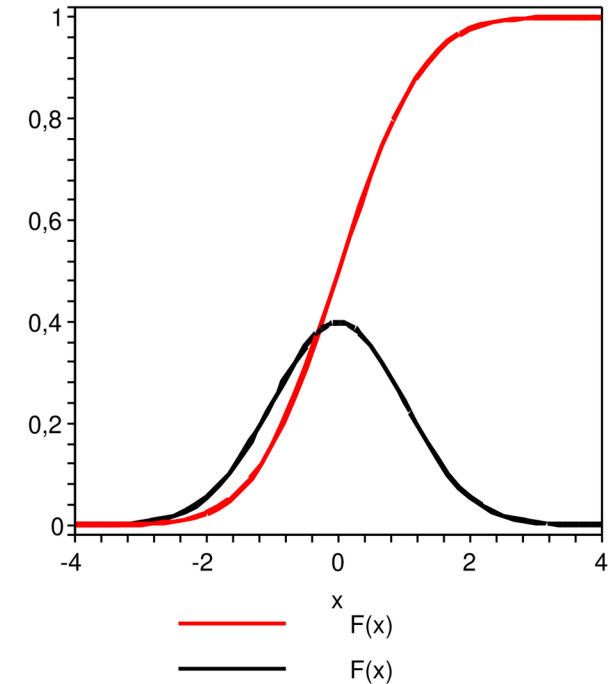
$$x_1 = r \cos(\phi) = \sqrt{-2 \ln(1 - U_1)} \cos(2\pi U_2)$$

$$x_2 = r \sin(\phi) = \sqrt{-2 \ln(1 - U_1)} \sin(2\pi U_2)$$

$$x_1, x_2 \sim N(0,1)$$

- transformacja dla docelowego rozkładu $N(\mu, \sigma)$

$$y_i = \mu + \sigma \cdot x_i \rightarrow y_i \sim N(\mu, \sigma)$$



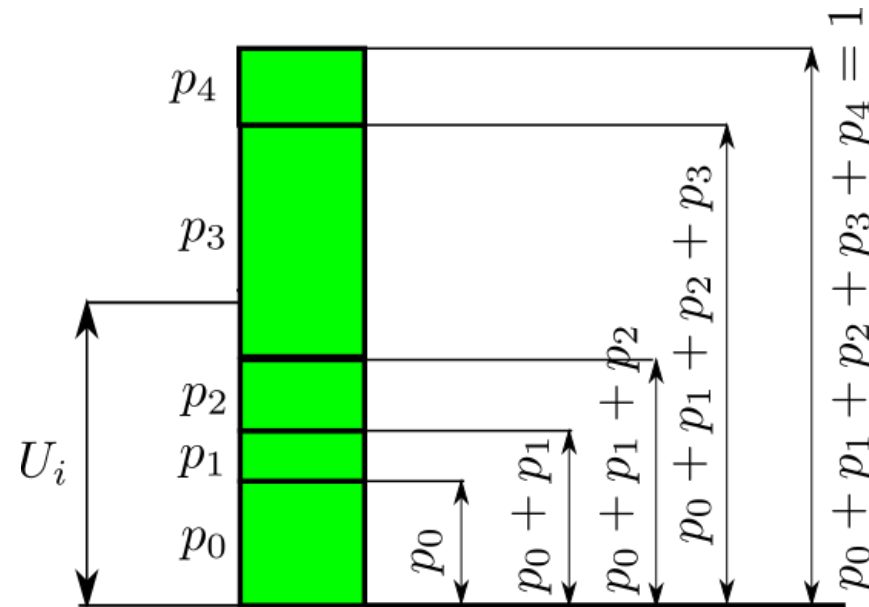
Metoda odwracania dystrybuanty dla rozkładu dyskretnego

przestrzeń dostępnych stanów:

$$\{x_0, x_1, x_2, x_3, x_4\}$$

$$\{p_0, p_1, p_2, p_3, p_4\}$$

$$\sum_i p_i = 1$$



START $X = 0, \quad S = p_0, \quad U > S(?) \quad \text{TAK}$

$X = 0 + 1 = 1, \quad S = p_0 + p_1, \quad U > S(?) \quad \text{TAK}$

$X = 1 + 1 = 2, \quad S = p_0 + p_1 + p_2, \quad U > S(?) \quad \text{TAK}$

$X = 2 + 1 = 3, \quad S = p_0 + p_1 + p_2 + p_3, \quad U > S(?) \quad \text{NIE} \rightarrow \text{STOP}$

nowa zmienna: $x_i = 3$

- ten prosty algorytm jest skuteczny, ale jego konstrukcja wymaga sprawdzania warunku dla kolejnych podprzedziałów – idąc z dołu do góry
- wydajność algorytmu maleje w przypadku, gdy ciąg dyskretnych liczb jest duży np. kilkadziesiąt (losowanie kart w talii)

- przykład – generowanie ciągu liczb o rozkładzie Bernoulli'ego

$$P\{X = 1\} = p \quad \langle X \rangle = p$$

$$P\{X = 0\} = 1 - p \quad \langle X^2 \rangle = p$$

$$\text{var}\{X\} = \langle X^2 \rangle - \langle X \rangle^2 = p(1 - p)$$

- wartość oczekiwaną zastępujemy estymatorem – średnią arytmetyczną
- w metodzie MC istotna jest jeszcze wartość odchylenia standardowego średniej

$$\bar{x}^m = \frac{1}{N} \sum_{i=1}^N x_i^m, \quad x_i \sim \text{Ber}(p)$$

$$\sigma_{\bar{x}} = \sqrt{\frac{\text{var}\{X\}}{N}}$$

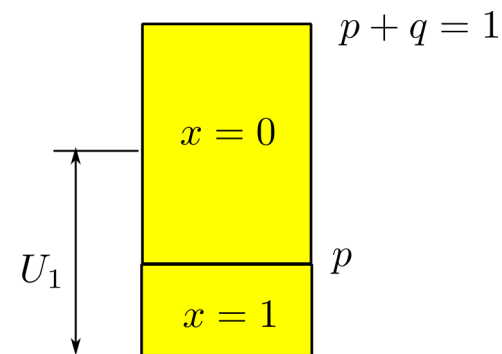
inicjalizacja: N , p , $S_1 = 0$, $S_2 = 0$

```

for (i=1; i <= N; i++){
  U1=(double)rand()/RAND_MAX //U1 ~ U(0,1)
  if (U1 ≤ p) x=1
  else x=0

  S1+ = x
  S2+ = x2
  x̄ = S1/i
  var = S2/i - x̄2
  σx̄ = √(var/i)
}

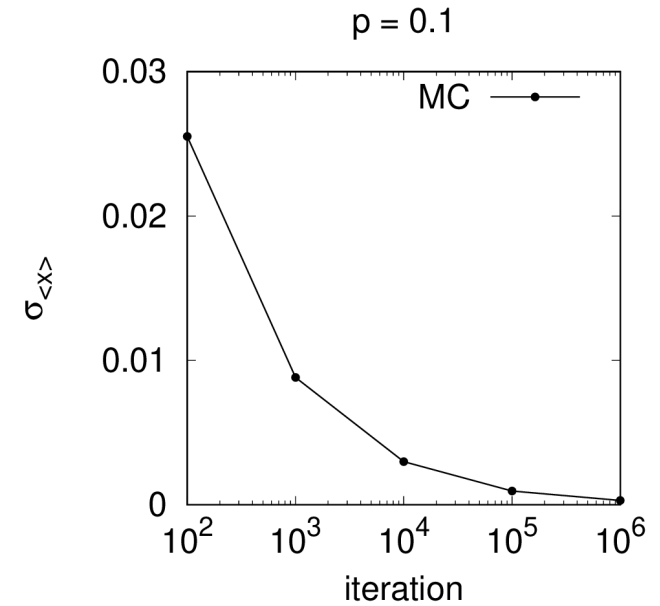
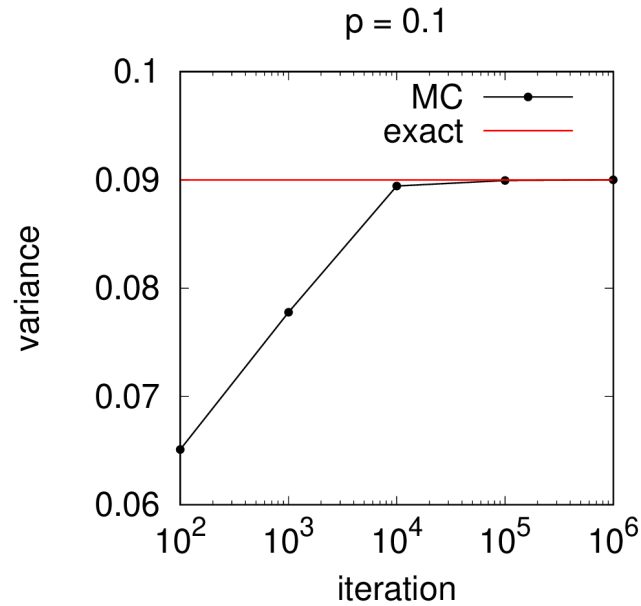
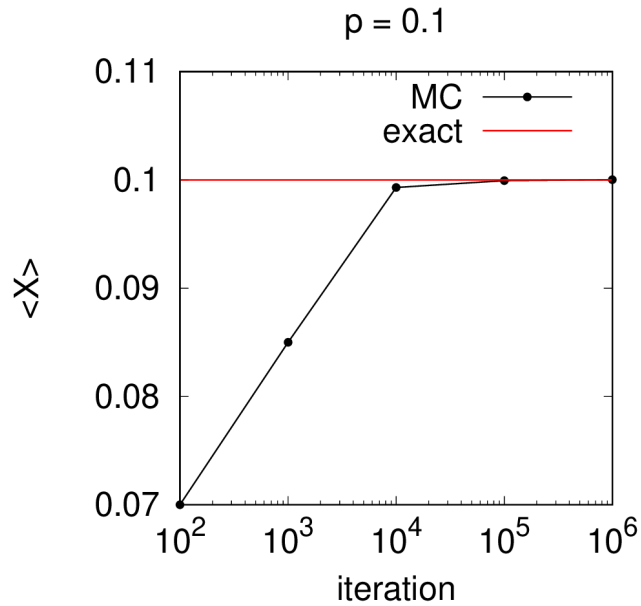
```



Wyniki dla rozkładu Bernoulliego generowanego metodą MC

$$\langle X \rangle = p$$

$$\text{var}\{X\} = p(1 - p)$$



- algorytm MC działa: średnia i wariancja dążą do wartości dokładnych rozkładu
- wariancja dotyczy pojedynczej zmiennej losowej (drugi rysunek)
- odchylenie standardowe średniej (trzeci rysunek) określa rozrzut wyniku numerycznego wokół średniej, **maleje jak $1/N$ – wynik typowy dla metody MC**

Dowolny rozkład - algorytm Metropolisa

Kolejny element ciągu $X_1, X_2, \dots, X_i, X_{i+1} = ?$

generujemy wykonując poniższe czynności

- losujemy nowe **proponowane** położenie

$$\tilde{X}_{i+1} = X_i + U_1, \quad U_1 \sim U\left(-\frac{\Delta}{2}, \frac{\Delta}{2}\right)$$

tu musimy zagwarantować symetrię: lewo-prawo

np.:
 $\Delta = 0.1$

- określamy prawdopodobieństwo akceptacji nowego położenia

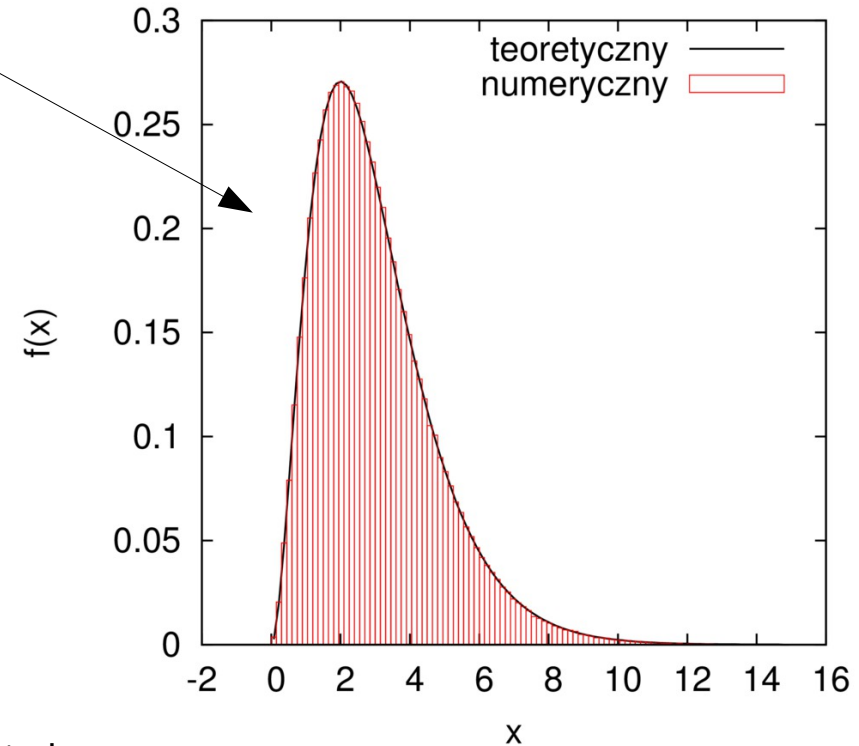
$$p_{acc} = \min \left\{ \frac{f(\tilde{X}_{i+1})}{f(X_i)}, 1 \right\}$$

- w sposób losowy sprawdzamy czy nowe położenie jest akceptowane

$$U_2 \sim U(0, 1) \rightarrow \begin{cases} U_2 \leq p_{acc} & \Rightarrow X_{i+1} = \tilde{X}_{i+1} \\ U_2 > p_{acc} & \Rightarrow X_{i+1} = X_i \\ \tilde{X}_{i+1} \notin (a, b) & \Rightarrow X_{i+1} = X_i \end{cases}$$

- metoda jest skuteczna i w pewnych przypadkach jest jedyną metodą pozwalającą próbkować fgp – gdy rozkład jest wielowymiarowy
- wadą może być silna korelacja pomiędzy kolejnymi elementami

histogram generatora (Metropolis)
dla $f(x) = x^2 \cdot \exp(-x)/2$



Całkowanie MC – metoda podstawowa

- najprostszy sposób zastosowania metody MC związany jest z całkowaniem, co wynika bezpośrednio z relacji pomiędzy wartością oczekiwaną a jej estymatorem – średnią arytmetyczną
- **wiele problemów rozwiążemy wykonując całkowanie metodą MC**

$$C = \langle z \rangle = \int_{-\infty}^{\infty} z g(z) dz \approx \bar{z} = \frac{1}{N} \sum_{i=1}^N z_i, \quad z_i \sim \text{Dist}\{g(z)\}$$

Zazwyczaj tego problemu nie rozwiążemy, bo nie znamy $g(z)$ – wiemy tylko, że ta fgp istnieje

Dlaczego?

- wartość z może być wynikiem działania skomplikowanego algorytmu
- rozkład $g(z)$ możemy dopiero próbować (np. tworząc łańcuch Markowa)

Argumentami funkcji podcałkowej z są zmienne o znanym rozkładzie

$$z = z(\vec{x}), \quad \vec{x} = [x_1, x_2, \dots, x_n]$$

$$f(\vec{x}) = f(x_1, x_2, \dots, x_n)$$

wtedy dokonujemy transformacji

$$g(z) dz = f(\vec{x}) d^n x$$

$$\langle z \rangle = \int_{-\infty}^{\infty} z g(z) dz = \int_{a_1}^{b_1} \dots \int_{a_n}^{b_n} z(\vec{x}) f(\vec{x}) dx_1 \dots dx_n$$

- postać wyrażenia identyczna, ale używamy generatora o **znanym rozkładzie** $f(\vec{x})$

$$\bar{z}^m = \frac{1}{N} \sum_{i=1}^N z^m(\vec{x}_i), \quad \vec{x}_i \sim Dist\{f(\vec{x})\}$$

- elementy wektora losujemy tylko raz i używamy go dla wszystkich momentów

$$var = \bar{z}^2 - \bar{z}^2$$

$$\sigma_{\bar{z}} = \sqrt{\frac{var}{N}}$$

inicjalizacja: $N, S_1 = 0, S_2 = 0$

```
for (i=1; i <= N; i++){
   $\vec{x} \sim Dist\{f(\vec{x})\}$ 
   $S_1+ = z(\vec{x})$ 
   $S_2+ = z^2(\vec{x})$ 
   $\bar{z} = S_1/i$ 
   $\bar{z}^2 = S_2/i$ 
   $var = \bar{z}^2 - \bar{z}^2$ 
   $\sigma_{\bar{z}} = \sqrt{var/i}$ 
}
```

Interpretacja statystyczna wyniku modelowania/symulacji Monte Carlo

- z **centralnego twierdzenia granicznego** wynika, że obliczona średnia (estymator wartości oczekiwanej) ma rozkład normalny (Gausa)

$$\bar{z} \sim N(\mu, \sigma)$$

- natomiast **prawo wielkich liczb** mówi, że błąd oszacowania średniej maleje z liczbą losowań

$$\sigma_{\bar{z}} = \frac{\sigma_z}{\sqrt{N}}$$

σ_z - odchylenie standardowe pojedynczej zmiennej losowej z

- oba twierdzenia stanowią fundament działania metody Monte Carlo
- wyniki MC mają **jednoznaczną interpretację**, niezależnie od sposobu wykonania symulacji czy użytego rozkładu prawdopodobieństwa (generatora liczb pseudolosowych)
- MC jest metodą stochastyczną – wynik obarczony jest niepewnością (błędem?), a ten możemy na bieżąco kontrolować tj. prowadzić obliczenia tak długo aż jego wartość obniży się poniżej założonego minimalnego progu

Przykład – całkowanie wielowymiarowe metodą MC

$$C = \int_0^1 \dots \int_0^1 \sqrt{x_1 + x_2 + x_3 + x_4 + x_5} dx_1 \dots dx_5$$

$C = 1.56705355$ - wynik dokładny

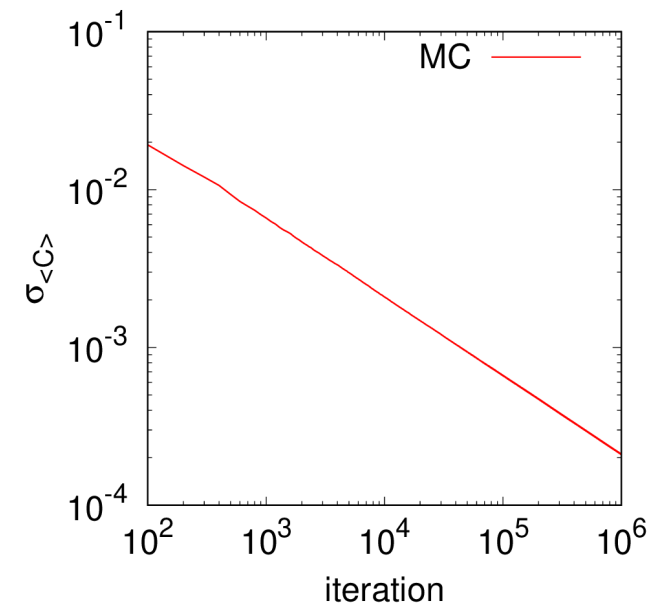
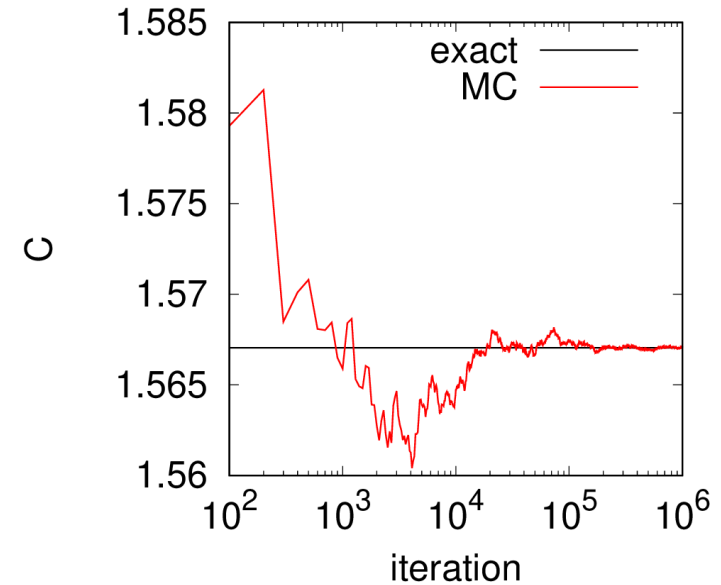
$$z(\vec{x}) = \sqrt{x_1 + x_2 + x_3 + x_4 + x_5}$$

$$f(\vec{x}) = 1 = U^5(0, 1)$$

$$\bar{z} = \frac{1}{N} \sum_{i=1}^N z(\vec{x}_i), \quad x_1, \dots, x_5 \sim U(0, 1)$$

$$\overline{z^2} = \frac{1}{N} \sum_{i=1}^N z^2(\vec{x}_i)$$

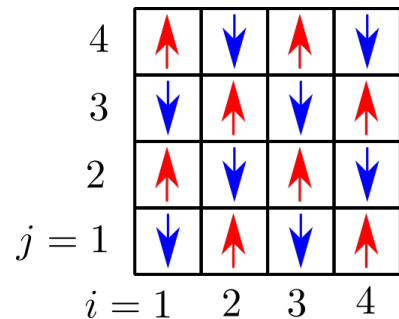
$$\sigma_{\bar{z}} = \sqrt{\frac{\overline{z^2} - \bar{z}^2}{N}}$$



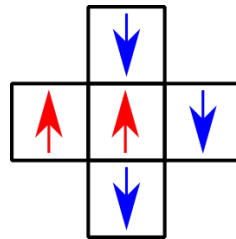
Modelowanie Monte Carlo – model Isinga

- **model Isinga** to prosty model układu spinów (1d, 2d, 3d), w którym uwzględniamy tylko oddziaływanie spin-spin pomiędzy najbliższymi sąsiadami

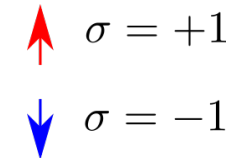
układ spinów 4x4



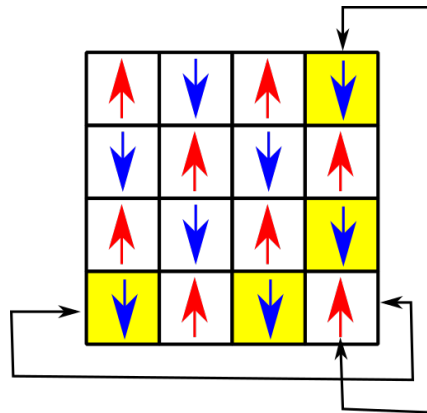
oddziaływanie:
spin oddziałuje tylko 4 sąsiadami



reprezentacja liczbowa spinów:



- wprowadzamy **periodyczne warunki brzegowe**, aby małe (skończone) układy imitowały układ nieskończony (otwarty)



- energię układu liczymy sumując wkłady od par spin-spin (tylko najbliżsi sąsiedzi)

$$E(\vec{\sigma}) = -J \sum_{\mu, \nu} \sigma_{\mu} \sigma_{\nu} \quad \vec{\sigma} = [\sigma_1, \dots, \sigma_N]$$

$$\mu = (i, j) \quad \nu = \{(i-1, j), (i+1, j), (i, j-1), (i, j+1)\}$$

$J > 0$ – całka wymiany

- zgodnie z mechaniką statystyczną prawdopodobieństwo realizacji danej konfiguracji zależy od energii oraz temperatury, dlaczego?

temperatura → drgania atomów → zmiana pola E/B w układzie własnym spinu → możliwy obrót spinu

$$p(\vec{\sigma}; \beta) = \frac{e^{-\beta E(\vec{\sigma})}}{Z(\beta)}, \quad \beta = \frac{1}{k_B T}$$

k_B - stała Boltzmannna
T - temperatura

$Z(\beta)$ to czynnik normalizacyjny – **funkcja rozdziału**

$$Z(\beta) = \sum_{\sigma_1 = \pm 1, \dots, \sigma_N = \pm 1} e^{-\beta E(\vec{\sigma})} = \sum_E D(E) e^{-\beta E}$$

↑
sumowanie po wszystkich
możliwych konfiguracjach

↑
sumowanie po wszystkich
możliwych energiach układu

- dla $T > 0$ spodziewamy się że spiny będą się obracać, w danej chwili realizowana jest jedna konfiguracja, energia układu musi być średnią po tych konfiguracjach

$$\langle E \rangle = \sum_{\vec{\sigma}} E(\vec{\sigma}) p(\vec{\sigma}; \beta)$$

$$\langle E^2 \rangle = \sum_{\vec{\sigma}} E^2(\vec{\sigma}) p(\vec{\sigma}; \beta)$$

- obie wielkości możemy wykorzystać np. do policzenia **ciepła właściwego na pojedynczy spin**

$$c_v = \frac{\beta^2}{N} \underbrace{(\langle E^2 \rangle - \langle E \rangle^2)}_{\text{wariancja}}$$

$$Z(\beta) = \sum_E D(E) e^{-\beta E}$$

$D(E)$ – gęstość stanów
(ilość stanów o danej energii)

$E[J]$	$D_{2 \times 2}$	$D_{4 \times 4}$
0	12	20524
4	0	13568
8	2	6688
12	—	1728
16	—	424
20	—	64
24	—	32
28	—	0
32	—	2

Obrót pojedynczego spinu powoduje zmianę energii o wartość

$$\Delta E = 0, \pm 4J, \pm 8J$$

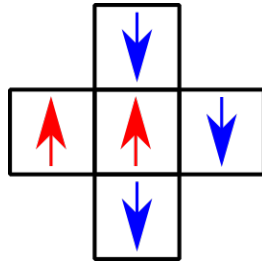
- okazuje się że **naturalne** fluktuacje kierunków spinów będące skutkiem skończonej temperatury są przyczyną specyficznych własności układu fizycznego

- **jak wykonać symulację MC?** → iteracyjnie

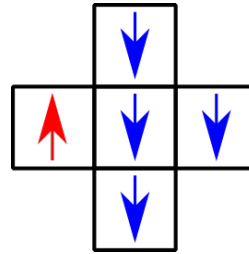
w pojedynczym kroku dokonujemy próby obrócenia jednego (np. losowego) spinu, nową konfigurację akceptujemy bądź nie zgodnie z **algorytmem Metropolisa**,

jedna iteracja → próba obrócenia wszystkich spinów w układzie

stara konfiguracja



proponowana nowa konfiguracja



$$E_{old} = -J(1 - 1 - 1 - 1) = 2J$$

$$E_{new} = -J(-1 + 1 + 1 + 1) = -2J$$

algorytm Metropolisa

$$\Delta E = E_{new} - E_{old} = -4J$$

$$p_{acc} = \min \left\{ \frac{p(E_{new}; \beta)}{p(E_{old}; \beta)}, 1 \right\} = \min \{ e^{-\beta \Delta E}, 1 \}$$

$$U_2 \sim U(0, 1) \rightarrow \begin{cases} U_2 \leq p_{acc} & \sigma_{\mu}^{new} = -\sigma_{\mu}^{old} \\ U_2 > p_{acc} & \sigma_{\mu}^{new} = \sigma_{\mu}^{old} \end{cases}$$

mimo iż układ jest mały
to liczba dostępnych stanów
jest ogromna

- **ile iteracji trzeba wykonać?**

liczba konfiguracji: $K = 2^N \rightarrow n = 6 \rightarrow N = n^2 \rightarrow K = 2^{36} \approx 68.7 \cdot 10^9$

w MC **próbkujemy losowo przestrzeń** dostępnych stanów więc $L_{iter} \ll K \quad L_{iter} \sim 10^5 - 10^6$

Pseudokod dla modelu Isinga 2D, wyznaczamy: energię + ciepło właściwe

inicjalizacja: $T, \beta, n, N = n^2, S_1 = 0, S_2 = 0, L_{iter}$

```

spins [][] = 1.0 // spiny = ↑
E_tot = -J N 4 1/2 // polaryzacja spinowa
iter = 0
for (l=1; l <= L_iter; l++){
  for (i=1; i <= n; i++){
    for (j=1; j <= n; j++){
      sigma_mu = spins [i] [j]
      sigma_nu_1, sigma_nu_2, sigma_nu_3, sigma_nu_4 ← spins [i ± 1] [j ± 1]
      E^old = -J sigma_mu (sigma_nu_1 + sigma_nu_2 + sigma_nu_3 + sigma_nu_4)
      E^new = -E^old

      p_acc = min { e^{-beta(E^new - E^old)}, 1 }
      U_1 ~ U(0, 1)
      if (U_1 <= p_acc) spins [i] [j] = -sigma_mu
      E_tot = E_tot - E^old + E^new
      iter++
      S_1+ = E_tot
      S_2+ = E_tot^2
      E_bar = S_1/iter
      E_bar^2 = S_2/iter
      c_v = beta^2 (E_bar^2 - E_bar^2) / N
    }
  }
}

```

- wybór stanu początkowego jest nieistotny, ale dla spolaryzowanego układu łatwo określić energię

- pamiętamy o periodycznych WB

- wyniki modelowania układu spinów 2D (**n=2, 4, 16, 24**)

temperatura krytyczna: $T_c=2.269$
(wynik analityczny)

$T > T_c$ - układ paramagnetyczny
 $T < T_c$ - układ ferromagnetyczny

ciepło właściwe na spin

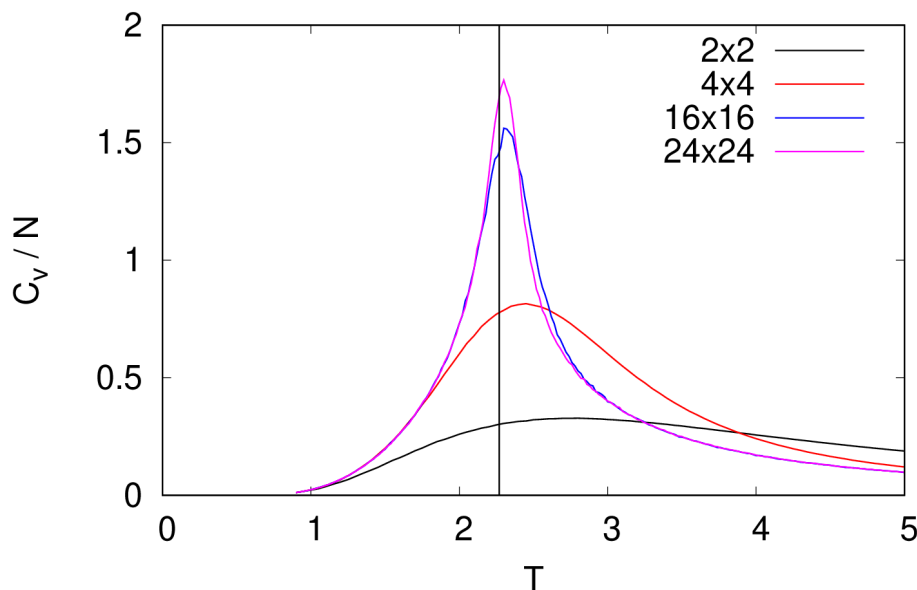
$$c_v = \frac{\beta^2}{N} (\langle E^2 \rangle - \langle E \rangle^2)$$

magnetyzacja układu

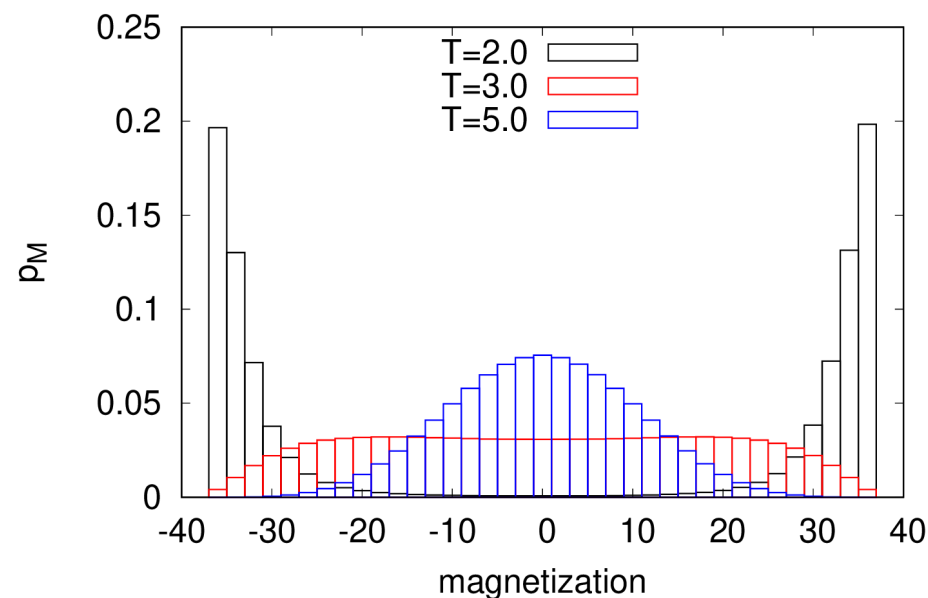
$$M = \left\langle \sum_{i=1}^N \sigma_i \right\rangle$$

$$M = -N, -N + 2, \dots, 0, \dots, N - 2, N$$

$L_{it}=10^5 N$, $T_c=2.269$



$N=6 \times 6$, $L_{it}=10^7 N$



- widoczny jest efekt rozmiarowy

- dla $T < T_c$ układ staje się częściowo spolaryzowany

Modelowanie MC – optymalizacja wartości funkcji (**metoda symulowanego wyżarzania**)

- jednym z zastosowań MC jest poszukiwanie **minimum globalnego** wartości funkcji tzw. **funkcji celu $f(x)$** (np. energii stanu podstawowego – czyli najstabilniejszej konfiguracji)
- na czym polega problem od strony numerycznej?

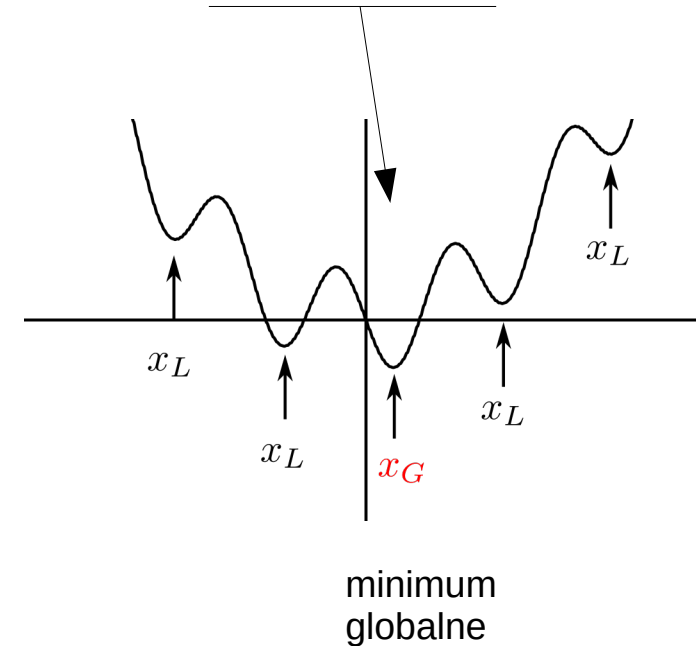
przykład: szukamy energii stanu podstawowego N oddziałujących cząstek

$$E_N = \sum_{i=1}^N \sum_{j>i}^N V(\vec{r}_i, \vec{r}_j)$$

$$dim = 3N$$

wymiarowość problemu (3D)
(**liczba stopni swobody**)

$$N = 100 \rightarrow dim = 300$$



W jaki sposób przeszukać przestrzeń o takiej liczbie wymiarów?

- w tego typu problemach, klasyczne metody numeryczne stają się bezużyteczne (klasyczne iteracyjne: Simplex lub gradientowe)
- przestrzeń dostępnych rozwiązań należy przeszukiwać w sposób losowy (podobnie jak to robiliśmy w problemie Isinga), jedyną użyteczną metodą pozostają metody stochastyczne (Monte Carlo)
 - **metoda symulowanego wyżarzania (SA)**
 - algorytmy ewolucyjne: **algorytmy genetyczne (GA)**, **algorytm kolonii mrówek (AC)** etc.

uwaga: generalnie metody oparte na **GA** są wydajniejsze/skuteczniejsze niż **SA** ale są bardziej skomplikowane i nie będziemy ich omawiać

Algorytm symulowanego wyżarzania

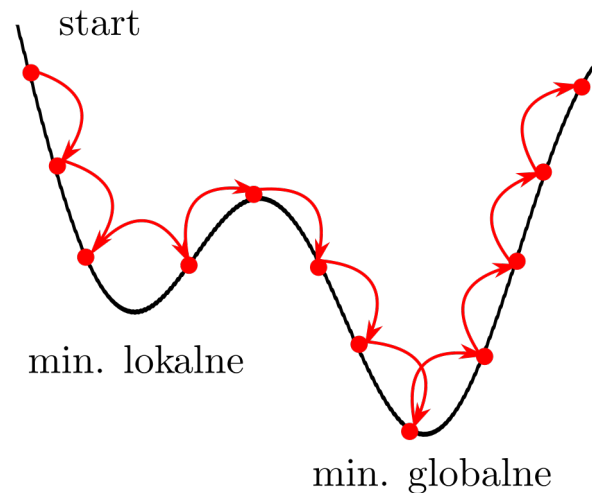
- 1) ustalamy temperaturę T_m i generujemy losowy ciąg L położeń pojedynczego wędrowca w przestrzeni zgodnie z **algorytmem Metropolisa** (znowu)

$$T_m : x_0 \rightarrow x_1 \rightarrow x_2 \rightarrow \dots \rightarrow x_L$$

$$x_{i+1}^{new} = x_i + U(-\Delta, \Delta) \quad (\Delta\text{-empirycznie})$$

$$p_{acc} = \min \left\{ 1, \exp \left(-\frac{f(x_{new}) - f(x_{old})}{kT_m} \right) \right\}$$

$$T \gg 1 \rightarrow p_{acc}(E_{new} > E_{old}) > 0$$



- jeśli T jest duże, to prawdopodobieństwo akceptacji nowego „gorszego” wyniku też jest duże
- wędrowiec może w sposób losowy odwiedzić dowolne miejsce w przestrzeni znajdując minimum

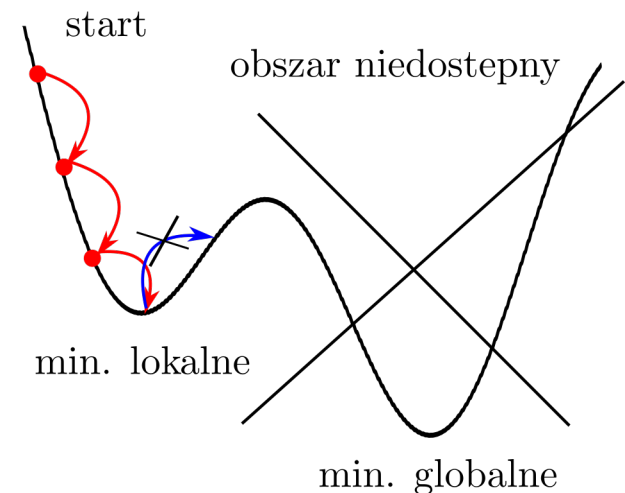
- 2) obniżamy temperaturę i powtarzamy procedurę

$$T_{m+1} < T_m \quad \left(T_{m+1} = \frac{T_m}{2} \right)$$

$$T_{m+1} : x_L \rightarrow x_{L+1} \rightarrow x_{L+2} \rightarrow \dots \rightarrow x_{2L}$$

$$p_{acc} = \min \left\{ 1, \exp \left(-\frac{f(x_{new}) - f(x_{old})}{kT_{m+1}} \right) \right\}$$

$$T \ll 1 \rightarrow p_{acc}(E_{new} > E_{old}) \sim 0$$



- małe T oznacza bardzo małe prawdopodobieństwo zaakceptowania wyniku o większej wartości funkcji celu $f(x)$
- ruch wędrowca ograniczony jest do lokalnej doliny $f(x)$
- dostęp do minimum globalnego może zostać zablokowany

Symulowane wyżarzanie: czego się spodziewać? oraz zalecany sposób postępowania

- po obniżeniu temperatury do $T \sim 0$ oczekujemy, że wędrowiec zlokalizuje się w minimum: **lokalnym** (najczęściej) lub **globalnym** (bardzo rzadko)
- aby zwiększyć szanse znalezienia minimum globalnego, zamiast pojedynczego wędrowca używamy N wędrowców (np. $N=100, 1000, 10000$)
- metodę łatwo zrównoleglić, wędrowcy działają niezależnie od siebie
- liczbę kroków w danej temperaturze, zakres temperatur oraz sposób zmiany temperatury należy dobierać empirycznie
- im bardziej złożony jest problem (np. ze względu na dużą liczbę wymiarów) tym mniejsza szansa na dotarcie do minimum po jednym wykonaniu programu, zazwyczaj trzeba algorytm wykonać wielokrotnie startując z różnych punktów w przestrzeni
- nie ma 100% gwarancji na to, że minimum globalne uda nam się znaleźć
- często jednak znalezione minima nie odbiegają znacznie wartością od minimum globalnego

Pseudokod symulowanego wyżarzania dla N węzłów

inicjalizacja : T_{min}, T_{max}
 M - liczba punktów pośrednich temperatury
 n - liczba wymiarów
 N - liczba węzłów
 $\vec{\Delta}_{max} = [\Delta_1, \Delta_2, \dots, \Delta_n]$
 $\vec{r}_i = [x_{i,1}, x_{i,2}, \dots, x_{i,n}]$ - wektor startowy i-tego węzła

$$\Delta T = \frac{T_{max} - T_{min}}{M}$$

for (it=1; it <= IT_{max}; it++){

$T = T(it)$ sposób zmiany temperatury →

for (i=1; i <= N; i++){

$$\vec{\Delta} \sim \text{dist}\{U^n(\cdot, \cdot)\} \quad |\vec{\Delta}| \leq |\vec{\Delta}_{max}|$$

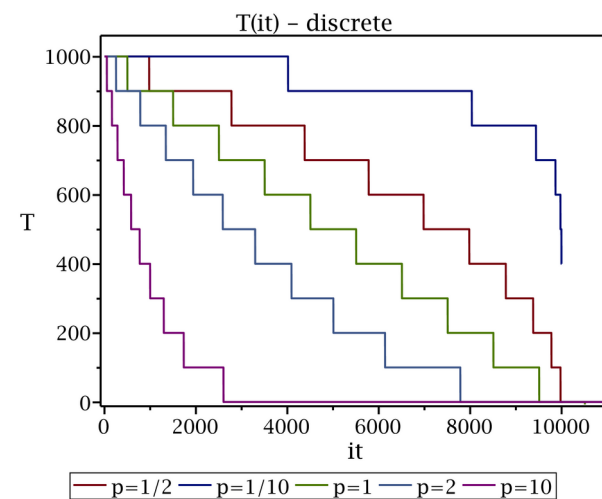
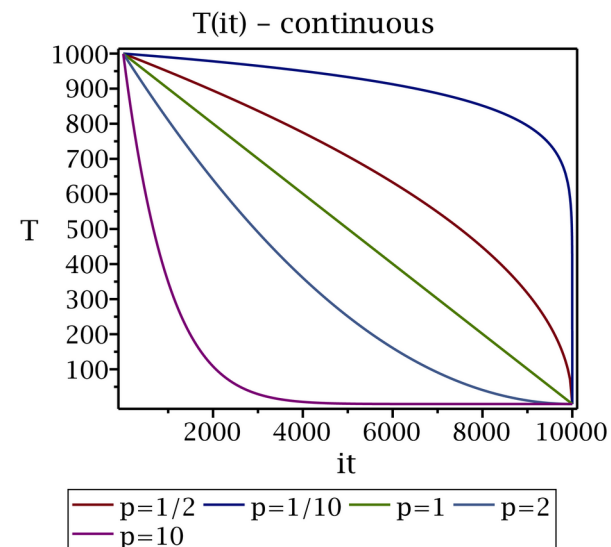
$$\vec{r}_i^{new} = \vec{r}_i + \vec{\Delta}$$

$$p_{acc} = \min \left\{ 1, \exp \left(-\frac{f(\vec{r}_i^{new}) - f(\vec{r}_i)}{kT} \right) \right\}$$

$$U_1 \sim U(0, 1)$$

if ($U_1 \leq p_{acc}$) {
 $\vec{r}_i \leftarrow \vec{r}_i^{new}$
 } else {
 \vec{r}_i - bez zmian
 }

}



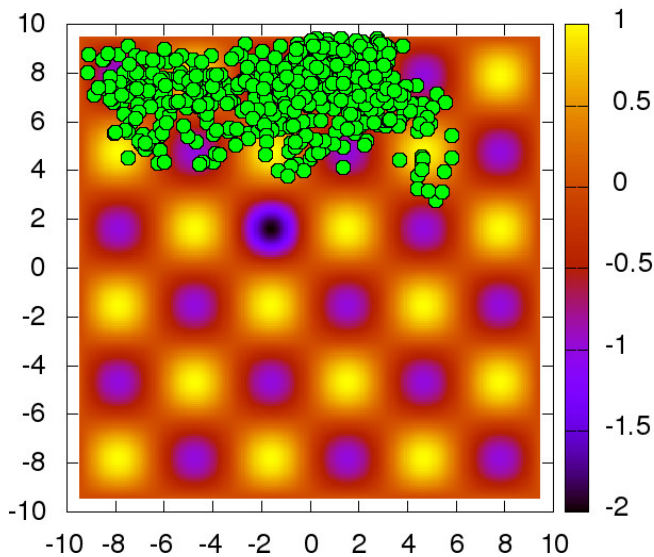
Przykład - szukamy minimum globalnego funkcji celu $f(x,y)$

$$f(x, y) = \underbrace{\sin(x) \sin(y)}_{\text{min. lokalne}} - \underbrace{\exp \left[- \left(x + \frac{\pi}{2} \right)^2 - \left(y - \frac{\pi}{2} \right)^2 \right]}_{\text{min. globalne}}$$

$$x, y \in [-3\pi, 3\pi]$$

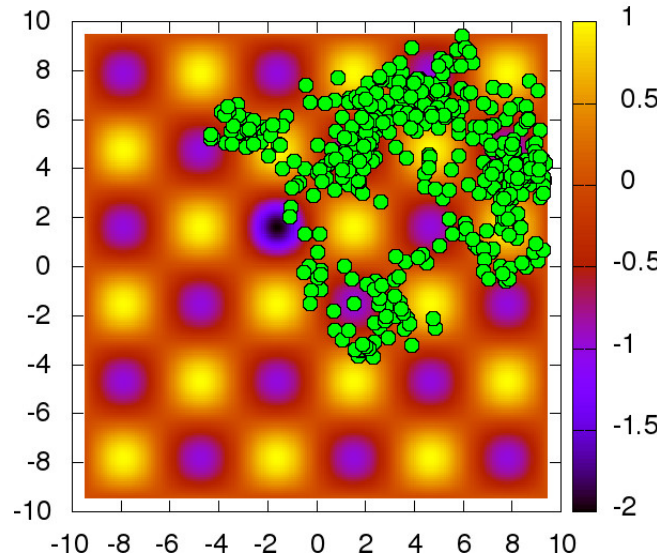
Wynik dla pojedynczego wywołania algorytmu (jeden wędrowiec) – kropki to kolejne położenia.
Dla każdego przypadku - start z tego samego punktu.

start=(5,5), T=10, 500 krokow



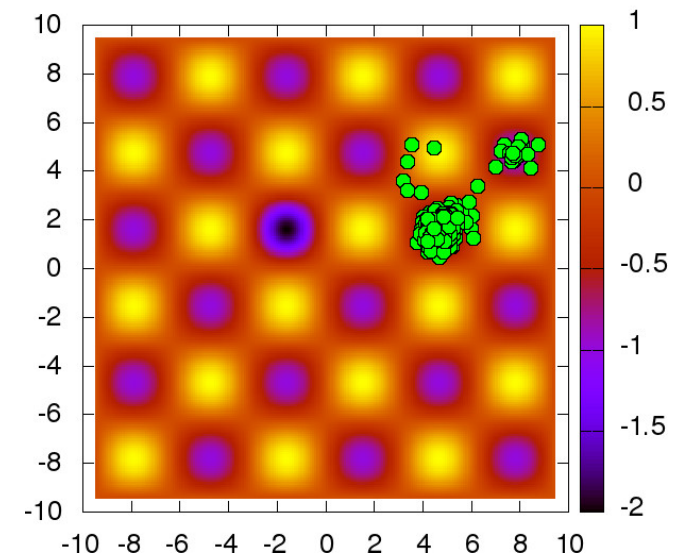
- temperatura za duża, zbyt duży krok, wędrowiec odwiedza maksima

start=(5,5), T=1, 500 krokow



- temperatura średnia, wędrowiec omija maksima i przemieszcza się dolinami

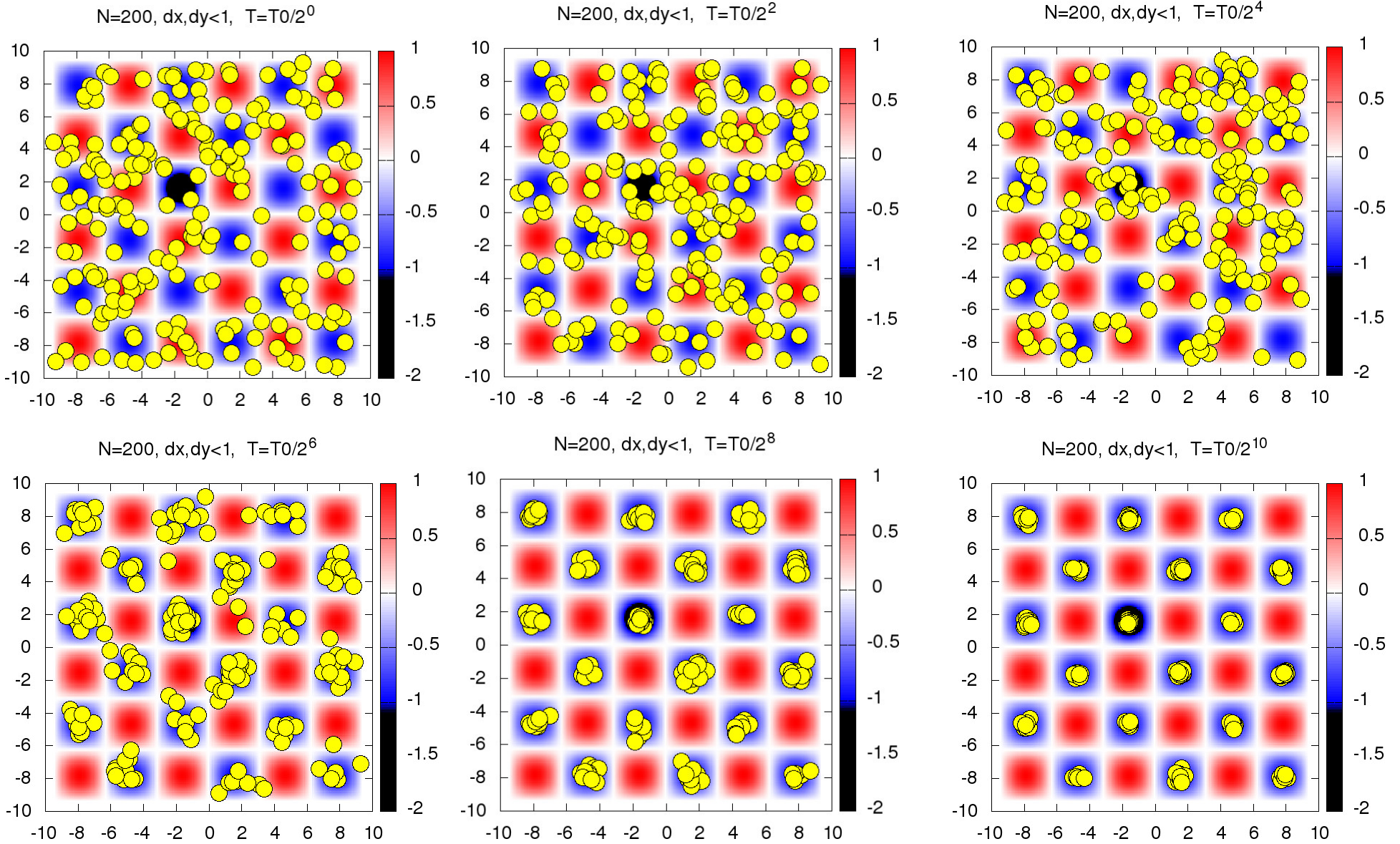
start=(5,5), T=0.1, 500 krokow



- temperatura niska, wędrowiec bardzo szybko i lokalizuje się w minimum

- wyniki dla $M=200$ węzłów i temperatury obniżanej co 100 iteracji

$$T_{new} = \frac{T_{old}}{2^2}$$



jedno ze znalezionych minimów to minimum globalne

Podsumowanie

- generalnie metoda MC to algorytm numeryczny dedykowany problemom o „charakterze probabilistycznym” (losowym) – ale nie tylko....
- MC możemy użyć do rozwiązywania problemów z natury losowych (fluktuacje spinów w modelu Isinga) oraz problemów, którym taką interpretację możemy nadać (całkowanie numeryczne)
- „silnikiem” MC jest generator liczb pseudolosowych o zadanym rozkładzie
- rozwiązanie problemu w MC obarczone jest niepewnością statystyczną – wielkość tego „błędu” możemy na bieżąco kontrolować (automatyczna kontrola błędu)
- MC nie rozwiążemy wszystkich problemów i zazwyczaj nie jest to metoda numeryczna pierwszego wyboru, ale w przypadku problemów o dużej złożoności obliczeniowej może być jedyną użyteczną (dostępną) metodą
- kod źródłowy programu MC zazwyczaj jest krótszy w porównaniu do innych metod, łatwiej też jest zaimplementować skomplikowane warunki brzegowe - to też może być istotna korzyść przemawiająca za użyciem MC
- nie ma jednej sformalizowanej wersji metody MC, dlatego jest bardzo elastyczna, w zasadzie każdy problem rozwiązywalny tą metodą możemy rozwiązywać na wiele sposobów (dotyczy to zwłaszcza minimalizacji niepewności), od naszej inwencji zależy gdzie w jakim zakresie ją wykorzystamy

Literatura

- J. E. Gentle - „Random number generation and Monte Carlo methods”
- D.P. Kroese, T. Taimre, Z.I. Botev - „Handbook of Monte Carlo methods”
- F. J. Vesely - „Computational Physics. An Introduction”
- M.H. Kalos, P.A. Withlock - „Monte Carlo Methods”
- W.L. Dunn, J.K. Shultis - „Exploring Monte Carlo Methods”
- T. Pang - „Introduction to computational physics”
- A.K. Hartmann, H. Rieger - „Optimization algorithms in physics”
- R.L. Haupt, D.H. Werner - „Genetic algorithms in electromagnetics”